

СОДЕРЖАНИЕ

ВВЕДЕНИЕ.....	6
1 ОБЗОР ЛИТЕРАТУРЫ.....	7
1.1 Обзор аналогов.....	7
1.2 Обзор технологий и методов.....	13
2 СИСТЕМНОЕ ПРОЕКТИРОВАНИЕ.....	18
2.1 Описание блоков.....	18
3 ФУНКЦИОНАЛЬНОЕ ПРОЕКТИРОВАНИЕ.....	22
3.1 Описание структур данных rust приложения.....	22
4 РАЗРАБОТКА ПРОГРАММНЫХ МОДУЛЕЙ.....	28
5 ПРОГРАММА И МЕТОДИКА ИСПЫТАНИЙ.....	29
5.1 Подраздел.....	29
5.2 Подраздел.....	29
6 РУКОВОДСТВО ПОЛЬЗОВАТЕЛЯ.....	30
6.1 Подраздел.....	30
6.2 Подраздел.....	30
6.3 Подраздел.....	30
7 ТЕХНИКО-ЭКОНОМИЧЕСКОЕ ОБОСНОВАНИЕ ПРОГРАММНОЙ РЕАЛИЗАЦИИ КОМПЛЕКСА СКАНИРОВАНИЯ ПРОСТРАНСТВА И НАВИГАЦИИ НА ОСНОВЕ РОБОТИЗИРОВАННЫХ ПЛАТФОРМ И ЛИДАРОВ.....	31
7.1 Характеристика программного средства, разрабатываемого для реализации на рынке.....	31
7.2 Расчёт инвестиций в разработку программного средства.....	32
7.3 Расчет экономического эффекта от реализации программного средства на рынке.....	35
7.4 Расчет показателей экономической эффективности разработки для реализации программного средства на рынке.....	36
7.5 Вывод об экономической эффективности.....	38
ЗАКЛЮЧЕНИЕ.....	40
СПИСОК ИСПОЛЬЗУЕМЫХ ИСТОЧНИКОВ.....	41
ПРИЛОЖЕНИЕ А.....	42
ПРИЛОЖЕНИЕ Б.....	43
ПРИЛОЖЕНИЕ В.....	44
ПРИЛОЖЕНИЕ Г.....	45

ВВЕДЕНИЕ

По мере развития технологий все большее распространение получает беспилотная техника. Эти устройства способны выполнять различные задачи без прямого участия человека. Преимущества беспилотной техники включают снижение риска для жизни и здоровья людей, увеличение точности и эффективности выполнения задач, а также возможность работы в опасных или недоступных для человека местах. Эти устройства и системы могут выполнять различные функции как в промышленности, так и в других сферах деятельности. Примерами такой техники могут быть беспилотные летательные, подводные и надводные аппараты, роботы, выполняющие сложные задачи на производстве, или автоматизированные машины, выполняющие задачи доставки грузов.

Беспилотная техника часто оснащается различными системами навигации, которые позволяют ей перемещаться автономно по окружающей среде. Это может быть реализовано с помощью компьютерного зрения, лидаров, инерциальных измерительных блоков, GPS и других технологий. Какие конкретно средства используются для навигации зависит от среды, в которой работает беспилотная техника, и других факторов. Для работы с данными, полученными с датчиков, существуют различные методы и алгоритмы, отличающиеся по сложности реализации. Примером может служить SLAM (Simultaneous Localization and Mapping), использующий лидары или камеры. Датчики и другие системы, применяющиеся с беспилотной техникой для навигации, также могут выполнять и другие задачи, например, различные исследования окружающей среды.

Одним из важных критериев, по которым различается беспилотная техника, является способ осуществления движения. Например:

1. Сухопутная техника. Она может быть колесной, гусеничной, или иметь другие способы передвижения.

2. Летательная техника. Это могут быть дроны мультироторного типа, летательные аппараты с фиксированным крылом или даже бионические роботы, имитирующие полет животных.

3. Плавающая техника. Включает в себя подводные аппараты или роботов, способных перемещаться по поверхности воды. Большой интерес представляют сухопутные роботы, использующие бионические конечности для перемещения. Подобным системам необходимы алгоритмы, реализующие эффективное движение с использованием сложной системы движущихся частей робота.

Темой данного дипломного проекта является разработка программной реализации комплекса сканирования пространства и навигации на основе роботизированных платформ и лидаров.

1 ОБЗОР ЛИТЕРАТУРЫ

1.1 Обзор аналогов

В данном подразделе будут рассмотрены несколько существующих реализаций SLAM.

1.1.1 Gmapping

Gmapping (Grid-based FastSLAM Mapping) – это алгоритм картографирования и локализации одновременно, разработанный для роботов с использованием сетки [1]. Он является одним из наиболее популярных и широко используемых алгоритмов SLAM для создания точных карт среды и определения положения робота в реальном времени.

Gmapping основывается на алгоритме FastSLAM, который комбинирует методы фильтрации частиц и построения карты на основе сетки. Он позволяет роботу одновременно определять свое местоположение и строить карту окружающей среды, используя данные из датчиков, таких как лазерный дальномер или сканирующий лазерный датчик.

Основные шаги, выполняемые алгоритмом Gmapping:

1. Инициализация. Алгоритм начинает с некоторой инициализации, устанавливая начальное положение робота и создавая пустую сетку карты.
2. Обработка данных с датчиков. Алгоритм получает данные с датчиков, таких как лазерный дальномер. Эти данные представляют собой измерения расстояния и углов сканирования вокруг робота.
3. Обновление частиц. Gmapping использует метод фильтрации частиц для оценки положения робота. Он создает набор частиц, представляющих возможные положения робота, и обновляет их в соответствии с полученными данными датчиков.
4. Построение карты. Для каждой частицы алгоритм строит локальную карту окружающей среды. Он использует данные сканирования с лазерного дальномера, чтобы определить препятствия и свободные области вокруг робота. Затем эти локальные карты объединяются в глобальную карту с использованием модели на основе сетки. Пример карты, построенной при помощи Gmapping, представлен на рисунке 1.1.
5. Обновление весов частиц. Алгоритм вычисляет веса каждой частицы на основе соответствия между сканированием с лазерного дальномера и картой. Частицы, которые лучше соответствуют данным, получают более высокие веса, тогда как менее соответствующие частицы получают более низкие веса.
6. Перевыборка частиц. Частицы с более высокими весами имеют большую вероятность быть выбранными для перевыборки. При перевыборке генерируются новые наборы частиц, основанные на весах предыдущих частиц. Это позволяет сосредоточиться на наиболее вероятных положениях робота.

7. Обновление оценки положения робота. Используя взвешенные частицы, алгоритм вычисляет оценку положения робота и карту окружающей среды. Эта оценка обновляется с каждым новым набором данных с датчиков.

Алгоритм Gmapping имеет несколько преимуществ:

1. Работа в реальном времени. Gmapping способен работать в реальном времени, обновляя карту и оценку положения робота по мере получения новых данных с датчиков.

2. Точность картографирования. Gmapping создает точные карты окружающей среды, используя модель на основе сетки. Он может обнаруживать препятствия и строить подробные и согласованные карты, которые могут быть использованы для планирования пути и навигации.

3. Устойчивость к шуму и неопределенности. Gmapping использует метод фильтрации частиц, который позволяет учитывать шумные данные с датчиков и уменьшать влияние неопределенности на оценку положения робота.

4. Масштабируемость. Gmapping может быть применен к различным типам роботов и средам. Он может работать как на малых, так и на больших площадях, а также адаптироваться к изменениям в окружающей среде.

5. Открытое программное обеспечение. Gmapping является частью пакета программного обеспечения ROS (Robot Operating System) и доступен в открытом исходном коде. Это позволяет разработчикам и исследователям легко использовать и настраивать алгоритм для своих специфических потребностей.

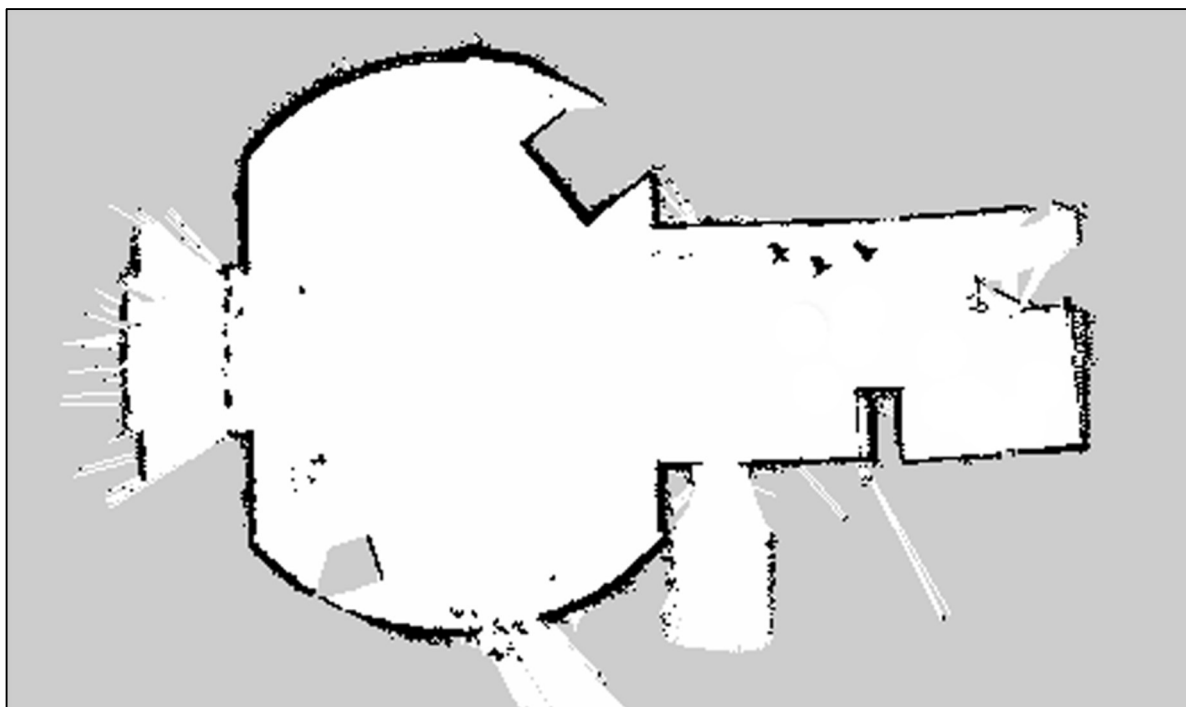


Рисунок 1.1 – Пример карты

Далее представлены некоторые ограничения, имеющиеся у Gmapping:

1. Требования к вычислительным ресурсам. Алгоритм Gmapping требует значительных вычислительных ресурсов для работы в реальном времени, особенно при обработке больших объемов данных с датчиков или при работе на сложных средах.

2. Чувствительность к движению. Gmapping может иметь трудности с точным картографированием и локализацией в случае быстрого движения робота или при наличии динамических объектов в окружающей среде. Это связано с ограничениями обработки данных с датчиков и возможностями модели на основе сетки.

3. Требования к калибровке датчиков. Для достижения наилучших результатов с Gmapping необходимо правильно настроить и откалибровать датчики, особенно лазерный дальномер. Неправильная калибровка может привести к неточностям в картах и оценке положения.

В целом, Gmapping является мощным алгоритмом картографирования и локализации SLAM, который обеспечивает точные карты окружающей среды и оценку положения робота в реальном времени. Он широко используется в робототехнике и автономных системах для выполнения задач навигации, планирования пути и взаимодействия с окружающей средой.

1.1.2 Google Cartographer

Google Cartographer – это библиотека и инструмент для создания 2D и 3D карт среды и выполнения одновременной локализации. Разработанная командой Google, Cartographer предоставляет мощные инструменты для робототехники и автономных систем, позволяя им строить детальные и точные карты окружающей среды и определять свое местоположение в реальном времени.

Вот основные компоненты и функции, предоставляемые Google Cartographer:

1. Картирование. Cartographer использует данные с датчиков, таких как лазерные дальномеры или камеры, для построения карты окружающей среды. Он использует методы на основе сетки для представления карты и может работать как в 2D, так и в 3D пространствах. Cartographer позволяет создавать детальные и точные карты, обнаруживать препятствия и другие объекты в окружающей среде.

2. Локализация. Кроме картографирования, Cartographer также выполняет одновременную локализацию, определяя местоположение робота в реальном времени. Он использует данные с датчиков и сопоставляет их с картой окружающей среды для определения положения робота с высокой точностью. Cartographer поддерживает как локализацию на основе признаков, так и локализацию на основе сканирования.

3. Интеграция с датчиками. Cartographer может работать с различными типами датчиков, включая лазерные дальномеры, камеры и инерциальные измерительные блоки (IMU). Он предоставляет гибкие возможности

интеграции с различными моделями и производителями датчиков, позволяя получать высококачественные данные для картографирования и локализации.

4. Поддержка различных платформ. Cartographer разработан для работы на различных платформах, включая настольные компьютеры, мобильные роботы и автономные автомобили. Он имеет модульную структуру, что позволяет легко настраивать его для конкретных потребностей и аппаратных сред.

5. Работа в реальном времени. Cartographer способен работать в режиме реального времени, обновляя карты и локализацию по мере получения новых данных с датчиков. Это делает его подходящим для задач навигации в реальном времени и планирования пути.

6. Синхронизация между роботами. Cartographer поддерживает многоагентную систему, что означает, что несколько роботов могут работать совместно для построения согласованных карт. Роботы могут обмениваться данными о картах и положении, что позволяет им эффективно координировать свои действия.

7. Автоматическое выравнивание карт. Одной из особенностей Cartographer является его способность автоматически выравнивать карты разных фрагментов одной общей карты. Это позволяет роботам создавать единое и последовательное представление окружающей среды, даже если они перемещаются по разным областям.

8. Гибкая настройка и расширение. Cartographer предоставляет гибкую архитектуру, которая позволяет настраивать систему и добавлять собственные модули и алгоритмы. Разработчики могут адаптировать Cartographer под свои конкретные потребности и интегрировать его с другими компонентами своей робототехнической системы.

9. Инструменты визуализации. Cartographer предоставляет инструменты визуализации, которые позволяют визуально представить текущую карту и оценку положения робота. Он поддерживает различные форматы визуализации, включая 2D и 3D визуализацию, что упрощает анализ и отладку результатов SLAM.

10. Открытое программное обеспечение. Cartographer является проектом с открытым исходным кодом, доступным в рамках инициативы открытого ПО Google. Это позволяет разработчикам и исследователям свободно использовать, модифицировать и распространять библиотеку, а также вносить свои вклады в ее развитие.

Основная особенность Google Cartographer заключается в том, что он состоит из локального SLAM и глобального SLAM. Локальный SLAM создает отдельные небольшие части карт. Затем, глобальный SLAM алгоритм ищет совпадения между частями карт, а также между данными сенсоров и всеми картами, созданными при помощи локального SLAM в параллельных процессах. В результате, глобальный SLAM формирует единую карту окружающего пространства [2]. Схема работы алгоритма Google Cartographer представлена рисунке 1.2.

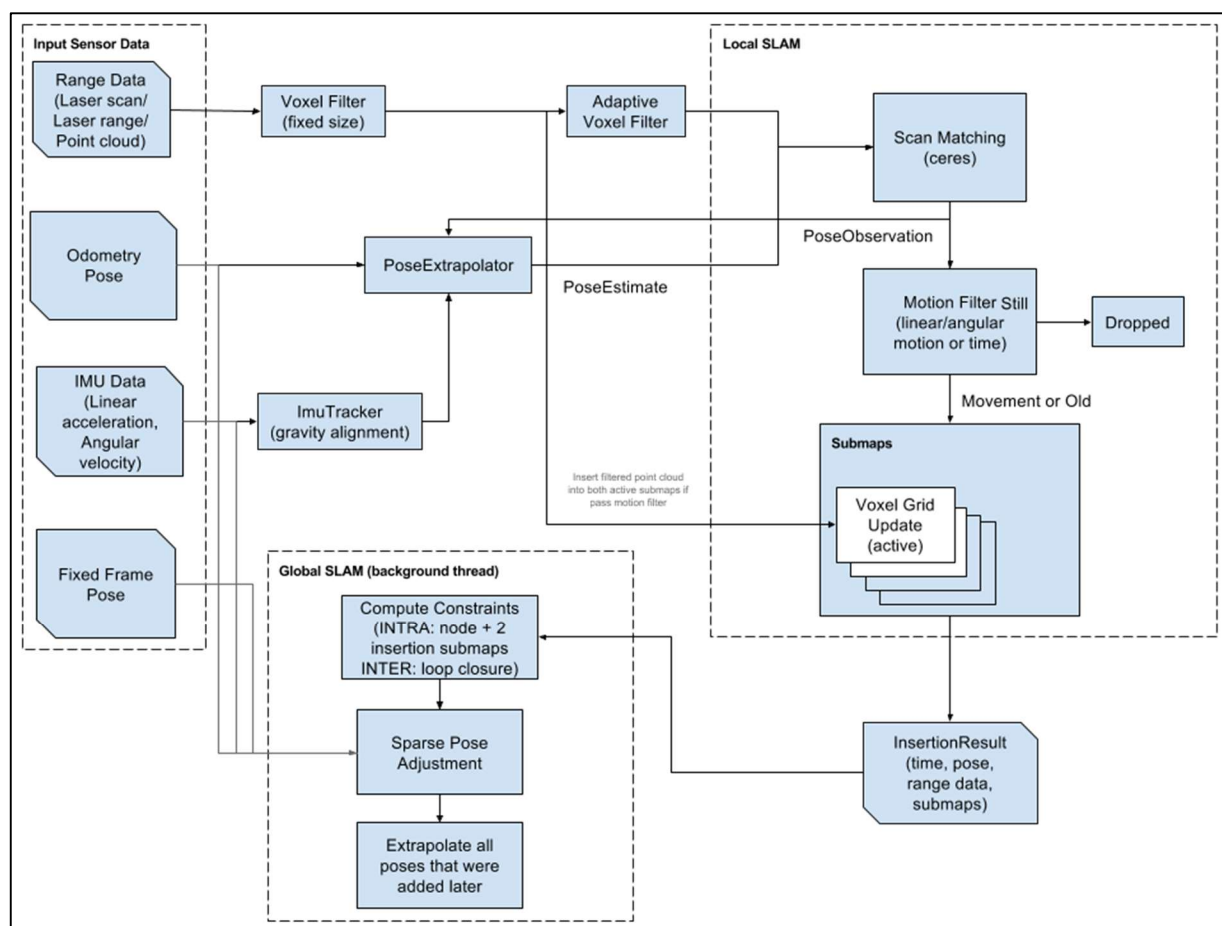


Рисунок 1.2 – Схема работы алгоритма Google Cartographer

Google Cartographer представляет собой мощный инструмент для робототехники и автономных систем, предоставляющий возможности построения детальных карт окружающей среды и определения местоположения в реальном времени. Его гибкость, масштабируемость и поддержка различных платформ делают его привлекательным выбором для разработчиков, которые стремятся реализовать SLAM в своих проектах.

1.1.3 RTAB-Map

Rtabmap (Real-Time Appearance-Based Mapping) – это библиотека и инструмент для одновременной локализации и построения карты в режиме реального времени. Разработанная и поддерживаемая командой IntRoLab (Laboratory of Intensive Robotics) в Монреальском университете, Rtabmap предлагает мощные возможности по картографированию и навигации для робототехники и автономных систем. Используемый алгоритм основан на поиске и сопоставлении соответствий визуальных данных сенсоров с использованием механизма памяти, где хранится база данных визуальных образов в соответствии с данными о местоположении робота [3]. Пример базы данных изображения представлен на рисунке 1.3.

Вот основные компоненты и функции, предоставляемые Rtabmap:

1. Картирование. Rtabmap использует данные с различных датчиков, таких как лазерные дальномеры, камеры и инерциальные измерительные блоки (IMU), для построения карты окружающей среды. Он использует методы на основе признаков для представления карты и может работать как в 2D, так и в 3D пространствах. Rtabmap позволяет создавать плотные карты с высокой детализацией, обнаруживать препятствия, сохранять информацию о среде и определять местоположение робота.

2. Локализация. Rtabmap выполняет одновременную локализацию, определяя местоположение робота в реальном времени. Он использует данные с датчиков, такие как видеопотоки и сканирование окружающей среды, и сопоставляет их с предыдущими данными для оценки положения. Rtabmap поддерживает как локализацию на основе признаков, так и локализацию на основе геометрии.

3. Обнаружение и сопоставление признаков. Rtabmap имеет встроенные алгоритмы для обнаружения и сопоставления признаков на основе изображений. Он может использовать различные дескрипторы, такие как SIFT, SURF или ORB, для идентификации ключевых точек и создания описания сцены. Это позволяет Rtabmap работать с различными типами датчиков и обрабатывать данные с камер и других источников.

4. Граф оптимизации. Rtabmap использует граф оптимизации для улучшения оценки положения и формирования карты. Он строит граф, где узлы представляют собой местоположения робота, а ребра – сопоставления и измерения между ними. Затем Rtabmap выполняет оптимизацию графа, чтобы улучшить точность оценки положения и форму карты.

5. Поддержка различных датчиков и платформ. Rtabmap разработан для работы с различными типами датчиков и платформ, включая мобильные роботы, автономные автомобили и дроны. Он имеет модульную архитектуру, что позволяет легко интегрировать новые датчики и настраивать его для конкретных потребностей.

6. Обнаружение и учет петель. Rtabmap способен обнаруживать петли в окружающей среде и эффективно их учитывать при построении карты. Это позволяет обеспечить более точную локализацию и улучшить качество карты путем устранения ошибок, связанных с повторным посещением областей.

7. Гибридный подход к SLAM. Rtabmap сочетает в себе особенности визуального и геометрического SLAM. Он использует информацию изображений и геометрических данных с датчиков для определения положения робота и построения карты. Это позволяет достичь лучшей точности и надежности в различных сценариях.

8. Встроенная система распознавания объектов. Rtabmap имеет встроенную систему распознавания объектов, позволяющую роботу определять и отслеживать объекты в окружающей среде. Это полезно для задач навигации и взаимодействия с реальными объектами.

9. Визуализация и анализ результатов. Rtabmap предоставляет инструменты визуализации, которые позволяют визуально представить

текущую карту и оценку положения робота. Он также предлагает средства анализа качества карты, такие как графики ошибок локализации и картографии, а также статистику по качеству сопоставления признаков.

10. Расширяемость и открытость. Rtabmap предоставляет API и набор инструментов для расширения его функциональности и интеграции с другими системами. Он является проектом с открытым исходным кодом, что позволяет разработчикам и исследователям свободно использовать и модифицировать его, а также вносить свои вклады в его развитие.

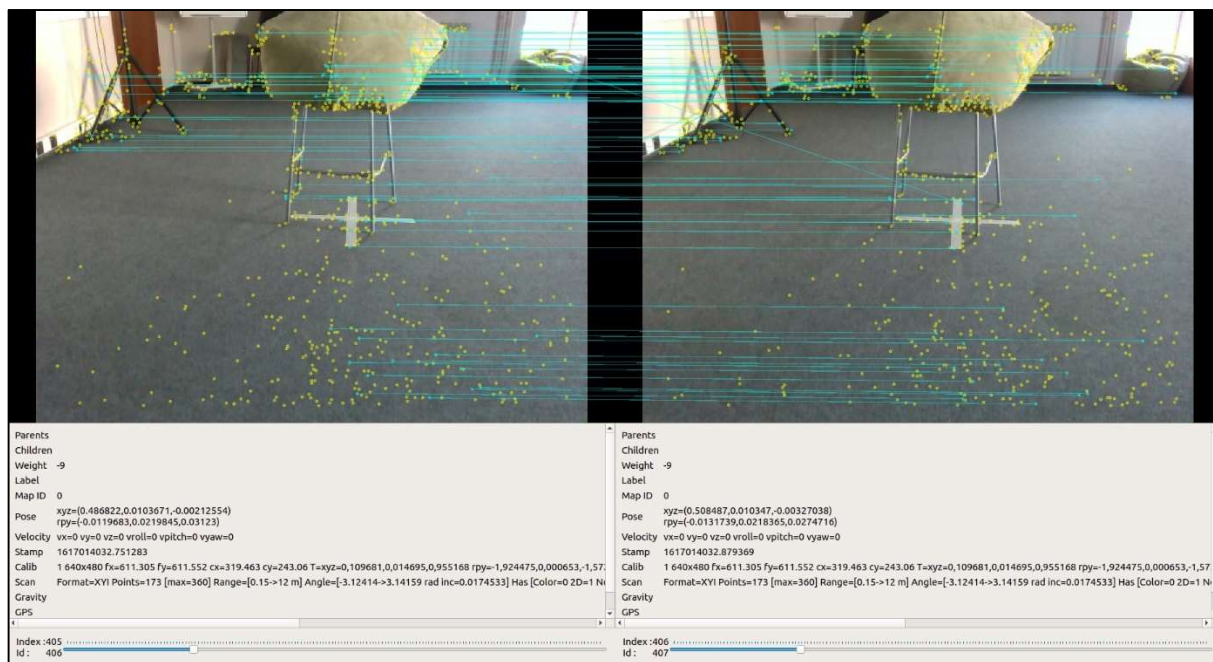


Рисунок 1.3 – База данных изображения Rtabmap

Rtabmap представляет собой мощный инструмент для робототехники и автономных систем, предоставляющий возможности построения детальных карт окружающей среды и определения местоположения в режиме реального времени. С его помощью можно реализовать различные задачи, связанные с картографированием и навигацией, включая автономную навигацию, планирование пути и взаимодействие с окружающей средой.

1.2 Обзор технологий и методов

В этом разделе будут рассмотрены и описаны технологии и методы, которые будут применяться при разработке дипломного проекта.

1.2.1 SLAM

SLAM, или одновременная локализация и построение карты (Simultaneous Localization and Mapping), является одним из ключевых методов в области робототехники и компьютерного зрения. Он позволяет роботу

одновременно определять свое местоположение в неизвестной среде и строить карту этой среды.

Принцип работы SLAM основывается на использовании датчиков и алгоритмов для сбора информации о среде и последующего анализа этой информации. Обычно в SLAM используются два основных типа датчиков: датчики измерения расстояния (например, лазерные сканеры или стереокамеры) и датчики измерения ориентации (например, инерциальные измерители).

С математической точки зрения, SLAM пытается оценить карту и весь путь, пройденный роботом. Таким образом, поза робота рассчитывается только в конце траектории, проделанной роботом [4]. Графическая модель SLAM подхода представлена на рисунке 1.4.

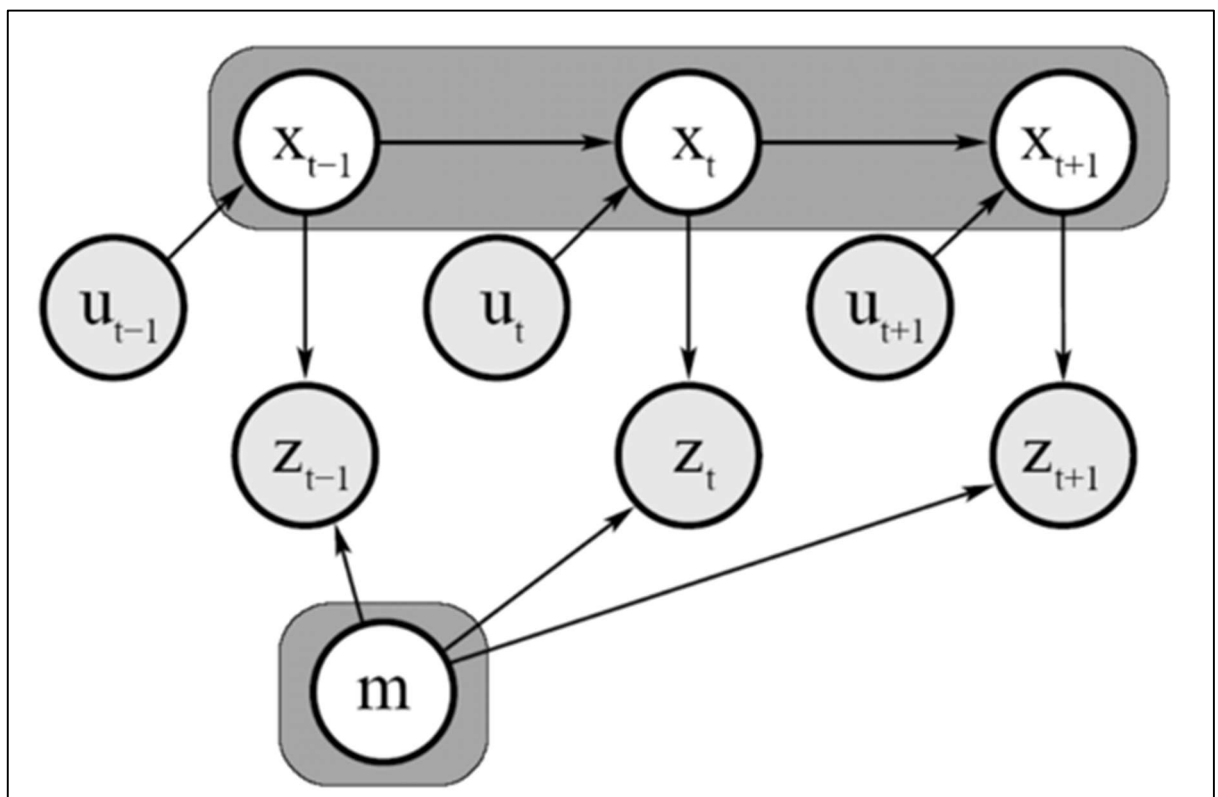


Рисунок 1.4 – Графическая модель SLAM подхода

Процесс SLAM обычно состоит из следующих шагов:

1. Захват данных. Робот собирает данные из своих датчиков, таких как лазерные сканеры, камеры и инерциальные измерители. Лазерные сканеры измеряют расстояния до окружающих объектов, а камеры могут использоваться для извлечения признаков и ориентации. Инерциальные измерители измеряют ускорение и угловую скорость робота.

2. Оценка движения. Используя данные с инерциальных измерителей, робот оценивает свое движение и изменение местоположения с течением времени. Это может включать оценку скорости, ускорения и изменения угла поворота робота.

3. Извлечение признаков. С помощью данных с лазерных сканеров или камер робот извлекает признаки из окружающей среды. Признаками могут быть контуры объектов, особые точки или текстуры. Они используются для сопоставления и определения положения робота относительно них.

4. Ассоциация данных. Следующий шаг состоит в ассоциации данных, то есть соотнесении данных с датчиков с предыдущими измерениями и признаками на карте. Это позволяет определить, какие измерения соответствуют одним и тем же объектам или признакам.

5. Обновление карты. После ассоциации данных робот обновляет карту окружающей среды, добавляя новые признаки и объекты. Карта может быть представлена в виде сетки, графа или другой структуры данных, которая описывает пространственное расположение объектов.

6. Обновление местоположения. С использованием ассоциированных данных и обновленной карты робот обновляет свое текущее местоположение в среде. Этот шаг позволяет роботу уточнить свое местоположение на основе новых данных.

7. Повторение. Весь процесс повторяется снова, начиная с захвата данных. Робот непрерывно собирает данные, обновляет карту и определяет свое местоположение в реальном времени.

SLAM является активной областью исследований, и существует много различных алгоритмов и подходов, позволяющих реализовать этот метод. Некоторые из наиболее распространенных алгоритмов SLAM включают в себя:

1. EKF-SLAM (Extended Kalman Filter SLAM). Этот алгоритм использует расширенный фильтр Калмана для оценки состояния робота и построения карты. Он предполагает линейность моделей движения робота и измерений признаков.

2. FastSLAM. Этот алгоритм использует алгоритм частицы для оценки состояния робота и построения карты. Он разбивает задачу SLAM на набор независимых задач локализации и построения карты для каждого признака на карте.

3. GraphSLAM. Этот алгоритм представляет карту и траекторию робота в виде графа и использует методы оптимизации графов для оценки состояния робота и построения карты.

4. ORB-SLAM. Этот алгоритм комбинирует методы извлечения признаков ORB (Oriented FAST and Rotated BRIEF) с алгоритмом RANSAC (Random Sample Consensus) для решения задачи SLAM в режиме реального времени.

1.2.2 Инверсная кинематика

Инверсная кинематика – это обратная задача к прямой кинематике, которая позволяет определить значения углов, положения и скорости звеньев манипуляционной системы на основе известного положения ее рабочего

органа в пространстве. В данном контексте мы рассмотрим инверсную кинематику роботов.

Инверсная кинематика имеет важное значение в робототехнике, поскольку позволяет управлять движением робота, задавая желаемое положение его рабочего органа. Вместо определения значений углов каждого звена вручную, инверсная кинематика автоматически рассчитывает эти значения с учетом геометрии и ограничений конкретной манипуляционной системы.

Для понимания работы инверсной кинематики с точки зрения геометрии, предположим, что у нас есть манипуляционная система с несколькими звеньями, объединенными в цепь. Каждое звено представляет собой сегмент, связанный с соседними звеньями при помощи сочленений, таких как вращательные или поступательные сочленения.

Главная задача заключается в определении значений углов или длин каждого звена, необходимых для достижения заданного положения рабочего органа (например, конца робота) в трехмерном пространстве.

Процесс решения инверсной кинематики может быть довольно сложным и зависит от конкретной геометрии манипулятора. В общем случае, для решения задачи инверсной кинематики требуется выполнение следующих шагов:

1. Определение координат и ориентации конца робота. Это заданные значения положения и ориентации, которые мы хотим достичь с помощью робота.

2. Анализ геометрии манипулятора. Необходимо изучить структуру и геометрию манипуляционной системы, включая длины звеньев, типы сочленений и ограничения на перемещение каждого звена.

3. Расчет углов или длин звеньев. На основе известных значений положения и ориентации конца робота, а также геометрии манипулятора, нужно вычислить углы или длины звеньев, обеспечивающие требуемое положение.

4. Проверка решения. После расчета значений углов или длин звеньев необходимо проверить, насколько близко полученное решение приближается к желаемому положению и ориентации конца робота. Если требуемая точность достигнута, можно передать вычисленные значения в соответствующие актуаторы робота для выполнения заданного движения.

Важно отметить, что инверсная кинематика может иметь несколько решений или быть неразрешимой в некоторых случаях, особенно когда манипуляционная система имеет ограничения или находится в сингулярных точках. Также могут возникать проблемы совмещения требуемого положения конца робота с физическими ограничениями системы, такими как препятствия или ограничения на движение звеньев.

В реальных системах решение инверсной кинематики обычно выполняется с использованием численных методов, таких как метод Ньютона-Рафсона или методы оптимизации. Эти методы позволяют находить

численное решение для требуемого положения конца робота, учитывая геометрию и ограничения манипулятора.

1.2.3 Пакетный менеджер Cargo

Cargo – это сборочный и управляющий пакетами инструмент в языке программирования Rust. Он является официальным инструментом для управления зависимостями и сборки проектов на Rust. Cargo обеспечивает простой и эффективный способ создания, сборки и управления проектами [5].

Cargo позволяет легко управлять зависимостями проекта. Он использует файл `Cargo.toml` для указания зависимостей и их версий. Cargo может автоматически загружать и устанавливать зависимости из центрального репозитория пакетов Cargo. Это упрощает добавление сторонних библиотек в проект и обновление зависимостей.

Cargo обеспечивает простой способ сборки проекта. Он автоматически обнаруживает и собирает все файлы исходного кода в проекте. Cargo предоставляет различные команды сборки, такие как `cargo build`, `cargo run` и `cargo test`, которые позволяют собирать, запускать и тестировать проект соответственно. Он автоматически управляет компиляцией и линковкой зависимостей проекта.

Cargo предлагает простой способ создания и управления проектами на Rust. Команда `cargo new` создает новый проект со структурой каталогов, включающей файл `Cargo.toml` и каталог `src` для исходного кода. Cargo также обеспечивает интеграцию с системой контроля версий Git.

Cargo позволяет упаковывать и распространять проекты на Rust в виде пакетов. С помощью команды `cargo package` можно создать архив проекта, содержащий все необходимые файлы для его сборки.

Cargo предлагает встроенную поддержку для модульного и интеграционного тестирования в проектах Rust. С помощью команды `cargo test` можно запустить все тесты в проекте или только определенные тесты.

Cargo также предоставляет команду, называемую `cargo check`. Эта команда быстро проверяет код, чтобы убедиться, что он компилируется, без создания исполняемого файла. `Cargo check` выполняется намного быстрее, чем `cargo build`, поскольку пропускает этап создания исполняемого файла. Таким образом, можно удобно проверять код на наличие ошибок в процессе разработки.

Cargo является мощным и удобным инструментом для разработки проектов на Rust. Он упрощает управление зависимостями, сборку проекта и распространение пакетов. Богатый функционал и простота использования делают Cargo неотъемлемой частью экосистемы Rust.

2 СИСТЕМНОЕ ПРОЕКТИРОВАНИЕ

Структурная схема, иллюстрирующая блоки программного средства, а также межблочные связи, приведена на чертеже ГУИР.400201.106 Э1.

Разделение проекта на блоки помогает лучше понять его структуру и организацию. Каждая часть схемы отвечает за определенную функциональность или задачу, и такая структурированность помогает ориентироваться в проекте. При разбиении проекта на блоки, каждый из них может быть разработан и протестирован независимо. Это облегчает интеграцию блоков между собой и обеспечивает более надежную работу.

В схеме представлено разбиение блоков на две группы в зависимости от того, к какой части программного комплекса относится блок: скрипт для роботизированной платформы или приложение для пользовательской станции.

В результате разработки были выделены следующие структурные единицы:

1. Блок сбора данных с лидара.
2. Блок передачи сигналов сервоприводам.
3. Блок общения с пользовательской станцией.
4. Блок общения с роботизированной платформой.
5. Блок управляющих элементов пользовательского интерфейса.
6. Блок вычисления углов поворотов сервоприводов.
7. Блок обработки данных с лидара.
8. Блок отображения карты.

Далее будут приведены краткие описания и функционал каждого из блоков.

2.1 Описание блоков

2.1.1 Блок сбора данных с лидара

Данный блок служит для сбора данных, которые в последствие будут использоваться для картографирования. Лидар представляет собой датчик, использующий лазер для измерения расстояний до окружающих объектов. Он осуществляет сканирование окружающей среды, отправляя лазерный луч и измеряя время, требуемое для его отражения от объектов и возвращения обратно к датчику. Лидар сканирует окружающую среду в горизонтальной, создавая точечное облако данных, которое представляет собой набор измерений расстояний и углов относительно робота. Подключается лидар к одноплатному компьютеру Raspberry Pi по интерфейсу UART (Universal Asynchronous Receiver/Transmitter). Через него осуществляется получение данных и управление лидаром.

Описываемый блок не обрабатывает данные, а только собирает их для дальнейшей передачи.

2.1.2 Блок передачи сигналов сервоприводам

Блок отправки сигналов сервоприводам получает данные об угле поворота нужного сервопривода от блока общения с пользовательской станцией, при этом в нем не реализован полный алгоритм движения. Для управления сервоприводами на Raspberry Pi используется 16-канальный контроллер PCA9685. Он позволяет управлять несколькими сервоприводами одновременно с помощью ШИМ-сигналов (Широтно-импульсная модуляция). Так как у роботизированной платформы 8 конечностей, в каждой из которых 3 сервопривода, одна PCA не может ими управлять. Поэтому необходимо задавать не только углы поворота сервоприводов, но и выбирать нужный контроллер PCA.

2.1.3 Блок общения с пользовательской станцией

Блок общения с пользовательской станцией обеспечивает взаимодействие между роботизированной платформой и персональным компьютером с работающим на нем приложением. Передача данных происходит в обе стороны. От блока сбора данных с лидаров непрерывно поступает поток отсканированных точек. Для дальнейшей обработки они отправляются на пользовательскую станцию.

Так как алгоритм движения роботизированной платформы не реализован в скрипте для одноплатного компьютера Raspberry Pi, в описываемый блок поступают данные, содержащие в себе информацию о том, на какой угол повернуть конкретный сервопривод.

Передача в обе стороны происходит по UDP (User Datagram Protocol). Это простой и легковесный протокол транспортного уровня в сетевой модели OSI (Open Systems Interconnection), который не гарантирует доставку данных.

2.1.4 Блок общения с роботизированной платформой

Блок общения с роботизированной платформой работает по аналогии с блоком общения с пользовательской станцией. Посредством локальной компьютерной сети, создается связь с одноплатным компьютером Raspberry Pi под управлением разработанного скрипта.

Передача пакетов данных осуществляется по протоколу UDP. С одной стороны возможны потери некоторых пакетов и, как следствие, небольшая неточность движения, с другой стороны легковесный протокол позволяет организовать быстрое соединения, что актуально в случае передачи большого объема данных с лидара.

Наборы точек, отсканированных лидаром, поступают непрерывно с роботизированной платформы и передаются в блок обработки данных с лидара для дальнейшего построения и актуализации карты. Данные о поворотах сервоприводов поступают с блока вычисления углов поворота в

зависимости от того, находится ли роботизированная платформа в режиме движения.

2.1.5 Блок управляющих элементов пользовательского интерфейса

Блок управляющих элементов позволяет через графический интерфейс задавать направление движения роботизированной платформы или точечно управлять отдельными элементами конечностей.

Так как сегменты ног связаны между собой шарнирами, движение одного сегмента приводит к изменению положения другого. Для вычисления углов поворотов, в блоке реализована инверсная кинематика. Так как изменение положения одного сегмента приводит к изменению положения другого, данные об углах поворота передаются в обе стороны между блоками.

В блоке управляющих элементов реализованы кнопки, нажатия на которые передают роботизированной платформе команды для движения. Перемещение может осуществляться в двух направлениях: вперед или назад. Также имеется возможность передать команду роботизированной платформе вращаться на месте вокруг своей оси в двух направлениях. Чтобы остановить движение робота-паука, реализована соответствующая кнопка. Присутствует возможность включать и выключать сервоприводы.

Отображаемые блоком управляющих элементов конечности роботизированной платформы являются интерактивными. Это означает, что можно управлять сервоприводами напрямую через данные элементы графического интерфейса.

2.1.6 Блок вычисления углов поворотов сервоприводов

Так как роботизированная платформа имеет конечности с 3 суставами, для достижения необходимого положения ноги робота паука, необходимо просчитать оптимальные углы поворота всех сервоприводов. Данную задачу выполняет блок вычисления углов поворотов. Для этого в нем реализованы алгоритмы инверсной кинематики, которые позволяют определить углы поворотов суставов, необходимые для достижения требуемой позиции и ориентации конечных точек конечностей робота. Данные о направлении движения каждой ноги приходят от блока управляющих элементов. После вычисления углов поворотов суставов на основе инверсной кинематики, полученные значения передаются далее для установки соответствующих позиций сервоприводов.

У каждой конечности роботизированной платформы есть 3 сустава, при этом 2 из них вращаются в одной плоскости. Таким образом в рамках инверсной кинематики рассматриваются два сегмента с двумя шарнирами. Углы, на которые поворачиваются рассматриваемые суставы, связаны между собой через теоремы синуса и косинуса.

Для определения конечного положения ноги роботизированной

платформы на основе данных о поворотах суставов используется прямая кинематика. Полученная информация идет в блок управляющих элементов для обновления графического отображения конечностей робота-паука.

2.1.7 Блок обработки данных с лидара

Рассматриваемый блок получает данные с лидара, которые представляют собой расстояния и углы от роботизированной платформы до окружающих объектов. Эти данные называются отметками сканирования. Они периодически поступают в сетку для построения карты. Она представляет собой множество ячеек, в которых хранится информация о заполненности пространства. Сетка карты обновляется на основе полученных отметок сканирования. Блок преобразует отметки в координаты точек в пространстве и затем помечает соответствующие ячейки сетки как занятые или свободные.

Для оценки и обновления положения робота в пространстве на основе полученных отметок сканирования и предыдущих оценок положения используется фильтр частиц. Он генерирует и обновляет набор гипотез о положении робота, используя статистические методы. Оценка положения робота корректируется на основе новых отметок сканирования. Что бы определить соответствие между отметками сканирования и ячейками сетки карты, выполняется ассоциация данных. Это помогает определить, какие отметки сканирования соответствуют занятым или свободным областям на карте.

Блок объединяет обновленные данные сетки, чтобы создать глобальную карту окружающей среды. Это делается путем суммирования информации от различных сканирований и обновления соответствующих ячеек сетки.

Описываемый блок также выполняет функцию задания режима работы лидара. Например, частоту сбора данных, так как данный параметр сильно влияет на качество построенной карты. Еще одним важным параметром является сектор, в котором лидар сканирует окружающее пространство.

2.1.8 Блок отображения карты

Основной функцией данного блока является отображение карты с помощью графического интерфейса. Данные с лидара поступают периодически, поэтому блок обработки, связанный с блоком отображения карты, также постоянно обновляет информацию об окружении роботизированной платформы. Сама карта представляет собой массив ячеек, в которых хранится информация о занятости пространства. Сетка карты периодически обновляется, по этой причине рассматриваемый блок постоянно актуализирует карту, отображаемую с помощью графического интерфейса. Кроме того, обновляется положение роботизированной платформы.

3 ФУНКЦИОНАЛЬНОЕ ПРОЕКТИРОВАНИЕ

3.1 Описание структур данных rust приложения

3.1.1 Структура MyEguiApp

Структура `MyEguiApp` является основой графического пользовательского интерфейса приложения. Она реализует трейт `App` из библиотеки `eframe`.

Этот трейт определяет методы, которые необходимо реализовать для обработки событий и отрисовки графического интерфейса приложения.

Описание полей структуры `MyEguiApp`:

1. Поле `socket` типа `UdpSocket`. Представляет UDP-сокеты для создания соединения и обмена данными с роботизированной платформой.
2. Поле `spider` типа `Spider`. Представляет объект `Spider` для конфигурации сервоприводов роботизированной платформы.
3. Поле `legs`, вектор типа. Представляющий массив объектов для управления конечностями роботизированной платформы.
4. Поле `last_legs`, вектор типа `Leg`. Массив для хранения предыдущего состояния конечностей робота-паука.
5. Поле `picked_leg` типа `usize`. Хранит индекс выбранной ноги.
6. Поле `motors_off` типа `bool`. Указывает, выключены ли сервоприводы.
7. Поле `i` типа `usize`. Используется внутри методов для итераций.
8. Поле `gait`, вектор типа `SingleLegGait`. Массив для управления движением роботизированной платформы.
9. Поле `remote_control` типа `DebugRemoteControl`. Представляет удаленное управление отладкой.
10. Поле `lidar_widget` типа `LidarWidget`. Представляет виджет для отображения данных лидара.
11. Поле `map_widget` типа `MapWidget`. Представляющее виджет для отображения карты.
12. Поле `correlation_widget` типа `MapWidget`. Представляет виджет для отображения корреляций на карте.
13. Поле `occupancy_grid` типа `OccupancyGrid`. Представляет сетку занятости для карты.
14. Поле `_points` типа `Vec<Point2<f32>>`. Представляет вектор точек двумерного пространства.
15. Поле `_debug_lidar_data` типа `Receiver<DebugResponse>`. Представляет данные отладки для лидара.
16. Поле `navigation_handle` типа `NavigationModuleHandle`. Представляет обработчик навигационного модуля.
17. Поле `lines` типа `Lines<'static>`. Представляет коллекцию строк.

18. Поле `_scan_matcher` типа `ScanMatcher`. Представляет объект для сопоставления сканирования.

19. Поле `do_a_step` типа `bool`. Флаг, указывающий на необходимость выполнения одного шага.

20. Поле `probability_widget` типа `MapWidget`. Представляет виджет для отображения вероятности на карте.

21. Поле `view_angle` типа `u32`. Представляет угол обзора.

22. Поле `run` типа `bool`. Флаг, указывающий на необходимость запуска или остановки работы.

23. Поле `_first_click` типа `Option<Point2<f32>>`. Представляет опциональную точку первого клика.

24. Поле `_last_shown_point` типа `usize`. Представляет последнюю показанную точку.

25. Поле `last_added_scan` типа `LocalizedRangeScan`. Представляет последнее добавленное сканирование с локализацией.

26. Поле `scans_to_process` типа `Arc<Notifier>`. Представляет синхронизированный оповещатель для обработки сканирований.

27. Поле `synchronize_visuals` типа `bool`. Флаг, указывающий, следует ли синхронизировать визуализацию.

28. Поле `points_of_points` типа `Vec<Vec<Point2<f32>>>`. Представляет вектор векторов точек двухмерного пространства с плавающей запятой.

Описание методов структуры `MyEguiApp`:

1. Метод `new(_cc: &eframe::CreationContext<'_>)`. Это конструктор структуры `MyEguiApp`, принимающий контекст создания и возвращающий новый экземпляр структуры. Внутри метода создается и инициализируется объект `udp_socket` типа `UdpSocket`, привязывается к адресу пользовательской станции и устанавливается соединение с адресом одноплатного компьютера Raspberry Pi, управляющего роботизированной платформой. Также создается массив, содержащий порядок ног в правильной последовательности. В конструкторе инициализируются векторы `legs` и `gait`. В итоге создается и возвращается новый экземпляр структуры `MyEguiApp` с инициализированными полями.

2. Метод `update(&mut self, ctx: &egui::Context, _frame: &mut eframe::Frame)`. Он реализует обновление состояния приложения. В цикле обновляются каждый элемент в векторе `gait` и соответствующий элемент в векторе `legs`. Затем создается панель с использованием контекста `ctx`. Внутри панели отображаются кнопки для управления состоянием моторов и движениями роботизированной платформой. Затем отображаются виджеты для настройки параметров ног и элементов управления. Реализованы кнопки для запуска и остановки картографирования. Если состояние ног изменилось, то происходит отправка данных через UDP-сокеты. Затем вызывается метод `request_repaint_after()` для запроса перерисовки интерфейса.

3.1.2 Структура SingleLegGait

Функциональность структуры `SingleLegGait` связана с управлением ходом одной ноги и обновлением ее позиции и высоты в зависимости от текущей фазы движения.

Описание полей структуры `SingleLegGait`:

1. Поле `current_pos` типа `Vec2`. Представляет текущую позицию ноги робота-паука.

2. Поле `current_height` типа `f32`. Представляет текущую высоту ноги робота-паука.

3. Поле `start_time` типа `Instant`. Представляет момент начала движения роботизированной платформы.

4. Поле `phase_shift` типа `f32`. Представляющее сдвиг фазы движения роботизированной платформы.

5. Поле `back_ground_pos` типа `Vec2`. Представляет позицию ноги на соответствующем этапе движения роботизированной платформы.

6. Поле `front_ground_pos` типа `Vec2`. Представляет позицию ноги на соответствующем этапе движения роботизированной платформы.

7. Поле `neutral_ground_pos` типа `Vec2`. Представляет позицию ноги на соответствующем этапе движения роботизированной платформы.

8. Поле `prestop_pos` типа `Vec2`. Представляет позицию ноги на соответствующем этапе движения роботизированной платформы.

9. Поле `cycle` типа `f32`. Представляет текущую фазу движения роботизированной платформы.

10. Поле `last_cycle` типа `f32`. Представляет предыдущую фазу движения роботизированной платформы.

11. Поле `stopping` типа `bool`. Указывает, происходит ли остановка движения роботизированной платформы.

12. Поле `stopped` типа `bool`. Указывает, остановлено ли движение роботизированной платформы.

13. Поле `pre_stop` типа `bool`. указывает, находится ли роботизированная платформа в ожидании остановки.

Описание методов структуры `SingleLegGait`:

1. Метод `new(leg: &Leg, phase_shift: f32)`. Это конструктор, инициализирующий поля структуры `SingleLegGait` на основе переданного объекта `leg` типа `Leg` и значения `phase_shift`. Возвращает новый экземпляр `SingleLegGait`.

2. Метод `start_cycle(&mut self)`. Он запускает новый цикл движения роботизированной платформы. Если движение не остановлено, обновляет время начала хода, сбрасывает текущую фазу и флаги остановки.

3. Метод `stop(&mut self, leg: &mut Leg)`. Он останавливает движение роботизированной платформы и обновляет позицию ноги на разных

этапах остановки, основываясь на переданном объекте `leg` типа `Leg` и значениях не описанных в разделе констант.

4. Метод `update_cycle(&mut self)`. Обновляет текущую фазу движения роботизированной платформы на основе времени, прошедшего с начала хода.

5. Метод `update_leg(&mut self, leg: &mut Leg)`. Обновляет позицию ноги робота-паука в соответствии с текущей фазой движения. Использует различные значения не описанных в разделе констант для интерполяции позиции ноги.

3.1.3 Структура `Leg`

Структура `Leg` представляет модель ноги робота-паука и содержит поля и методы, связанные с кинематикой и позицией конечности. Общая функциональность структуры связана с вычислением позиции ноги на основе угловых данных или координатных данных.

Описание полей структуры `Leg`:

1. Поле `leg_name` типа `str`. Содержит обозначение ноги робота-паука.
2. Поле `femur_ang` типа `f32`. Представляет угол наклона бедра ноги робота-паука.
3. Поле `tibia_ang` типа `f32`. Представляет угол наклона голени ноги робота-паука.
4. Поле `coxa_ang` типа `f32`. Представляет угол наклона коксального сочленения ноги робота-паука.
5. Поле `len` типа `f32`. Представляет длина ноги робота-паука.
6. Поле `height` типа `f32`. Представляет высоту ноги робота-паука.
7. Поле `ground_position` типа `Vec2`. Представляет позицию ноги робота-паука относительно земли.
8. Поле `attach_pos` типа `Vec2`. Представляет позицию ноги робота-паука относительно точки крепления.
9. Поле `standing_position` типа `Vec2`. Представляет соответствующую позицию ноги робота-паука.

Описание методов структуры `Leg`:

1. Метод `forward_kinematics(&mut self, femur: f32, tibia: f32)`. Он реализует прямую кинематику ноги на основе переданных углов `femur` и `tibia`. Обновляет поля `femur_ang`, `tibia_ang`, `len` и `height` на основе расчетов позиции ноги.

2. Метод `inverse_kinematics(&mut self, x: f32, y: f32)`. Он реализует инверсную кинематику ноги на основе переданных координат `x` и `y`. Обновляет поля `femur_ang` и `tibia_ang` на основе расчетов обратной позиции ноги.

3. Метод `inverse_plane_kinematics(&mut self, x: f32,`

`y: f32`). Он реализует инверсную кинематику ноги в плоскости на основе переданных координат `x` и `y`. Обновляет поля `len`, `coxa_ang`, `ground_position` и вызывает метод `inverse_kinematics` для обновления положения ноги.

3.1.4 Структура Spider

Структура `Spider` представляет собой модель паука. Внутри структуры есть публичное поле `configs`, которое является массивом из восьми элементов типа `LegConfig`. Этот массив содержит в себе текущее состояние всех сервоприводов роботизированной платформы.

В методе `new()` структуры `Spider` происходит инициализация экземпляра паука. Создаются конфигурации для каждой из восьми конечностей роботизированной платформы и записываются в массив `configs`. Значения для каждой конфигурации берутся из заданных констант. В итоге, метод `new()` возвращает экземпляр структуры `Spider` с заполненным массивом `configs`, содержащим конфигурации для каждой ноги робота-паука.

3.1.5 Структура MotorConfig

Структура `MotorConfig` определяет конфигурацию одного сервопривода роботизированной платформы.

Описание полей структуры `MotorConfig`:

1. Поле `board` типа `Board`. Представляет номер контроллера PCA, к которому подключен сервопривод.
2. Поле `pin` типа `u8`. Представляет номер контакта контроллера PCA, к которому подключен сервопривод.
3. Поле `min` типа `f32`. Представляет минимальное значение угла вращения сервопривода.
4. Поле `max` типа `f32`. Представляет максимальное значение угла вращения сервопривода.
5. Поле `r_min` типа `f32`. Представляет минимальное значение радиуса движения соответствующей части ноги робота-паука.
6. Поле `r_max` типа `f32`. Представляет максимальное значение радиуса движения соответствующей части ноги робота-паука.
7. Поле `mid` типа `f32`. Представляет среднее значение угла вращения сервопривода или среднее значение радиуса движения ноги робота-паука.
9. Поле `inversed` типа `bool`. Флаг, указывающий на инвертированное направление поворота сервопривода.

В структуре `MotorConfig` присутствует метод `calc_angle(&self, mut angle: f32)`. Он выполняет вычисления для определения угла

вращения мотора на основе заданных конфигурационных параметров.

3.1.6 Структура `LegConfig`

Структура `LegConfig` представляет конфигурацию одной конечности роботизированной платформы.

Описание полей структуры `LegConfig`:

1. Поле `coxa` типа `MotorConfig`. Представляет конфигурацию сервопривода коксального сочленения одной из конечностей роботизированной платформы.

2. Поле `femur` типа `MotorConfig`. Представляет конфигурацию сервопривода бедра одной из конечностей роботизированной платформы.

3. Поле `tibia` типа `MotorConfig`. Представляет конфигурацию сервопривода голени одной из конечностей роботизированной платформы.

Структура `LegConfig` имеет один метод `calc_leg(&self, coxa: f32, femur: f32, tibia: f32)`, который принимает три аргумента типа `f32`, представляющих собой углы. Данный метод вызывает метод `calc_angle` для каждого из трех сервоприводов ноги робота-паука и передает соответствующие значения для вычисления угла вращения. Результатом метода `calc_leg` является кортеж из трех значений типа `f32`, представляющих вычисленные углы вращения для каждого сервопривода.

4 РАЗРАБОТКА ПРОГРАММНЫХ МОДУЛЕЙ

Текст раздела

5 ПРОГРАММА И МЕТОДИКА ИСПЫТАНИЙ

Текст раздела

5.1 Подраздел

Текст раздела

5.2 Подраздел

Текст раздела

6 РУКОВОДСТВО ПОЛЬЗОВАТЕЛЯ

Текст раздела

6.1 Подраздел

Текст раздела

6.2 Подраздел

Текст раздела

6.3 Подраздел

Текст раздела

7 ТЕХНИКО-ЭКОНОМИЧЕСКОЕ ОБОСНОВАНИЕ ПРОГРАММНОЙ РЕАЛИЗАЦИИ КОМПЛЕКСА СКАНИРОВАНИЯ ПРОСТРАНСТВА И НАВИГАЦИИ НА ОСНОВЕ РОБОТИЗИРОВАННЫХ ПЛАТФОРМ И ЛИДАРОВ

7.1 Характеристика программного средства, разрабатываемого для реализации на рынке

Разработанный дипломный проект представляет собой скрипт, загружаемый на робота-паука под управлением одноплатного компьютера Raspberry Pi. Данный скрипт получает сигналы через локальную компьютерную сеть и на их основе осуществляет непосредственное управление конечностями роботизированной платформы, а также собирает данные с лидара, установленного на робота, и отправляет на сервер. Еще одной частью разработанного дипломного проекта является приложение на Windows, предоставляющее удобный пользовательский интерфейс для управления роботизированной платформы через сигналы, принимаемые и обрабатываемые скриптом, и выступающее в роли сервера, интерпретирующего данные лидара для построения на их основе карты и локализации робота-паука.

Программное обеспечение для дистанционного управления роботом-пауком с лидаром и функциональностью, предоставляемой методом SLAM, имеет широкий спектр применений и может быть полезно в различных областях. Вот некоторые из них:

1. Исследование и картография неизвестных или опасных территорий. Робот-паук с лидаром и возможностью построения карты в реальном времени может использоваться для исследования территорий, до которых человеку трудно или опасно добраться. Например, в случае поиска и проведения спасательных работ при стихийных бедствиях, исследовании неизвестных пещер или других опасных зон.

2. Промышленность и инспекция. Робот-паук с лидаром может выполнять задачи инспекции и мониторинга в сложных промышленных средах, где доступ человеку ограничен или рискован. Например, он может использоваться для проверки состояния инфраструктуры, такой как трубопроводы, нефтяные платформы, электростанции, или для инспекции в местах проведения строительных работ.

3. Робототехнические исследования. Проект может быть полезным для исследований и разработок в области робототехники. Робот-паук с лидаром и SLAM-картированием может служить платформой для проведения экспериментов и разработки новых алгоритмов в области автономной навигации и мобильной робототехники.

4. Образование и наука. Проект может быть использован в учебных заведениях для обучения студентов основам робототехники, компьютерного зрения и автономной навигации. Робот-паук с лидаром и SLAM-

картированием предоставляет практическую платформу для изучения данных технологий.

Разработанное программное обеспечение в отличие от аналогов, таких как Gmapping, является не инструментарием, а готовым решением для работы с конкретной роботизированной платформой. Кроме оптимизированной и точной обработки данных лидара по методу SLAM, приложение реализует эффективный алгоритм движения для робота-паука.

7.2 Расчёт инвестиций в разработку программного средства

7.2.1 Расчёт зарплат на основную заработную плату разработчиков

Расчёт затрат на основную заработную плату разработчиков производится исходя из количества людей, которые занимаются разработкой программного продукта, месячной зарплаты каждого участника процесса разработки и сложности выполняемой ими работы. Затраты на основную заработную плату рассчитаны по формуле:

$$Z_o = K_{\text{пр}} \sum_{i=1}^n Z_{\text{чи}} \cdot t_i, \quad (7.1)$$

где $K_{\text{пр}}$ — коэффициент премий и иных стимулирующих выплат;

n — категории исполнителей, разрабатывающих программного средства;

$Z_{\text{чи}}$ — часовая заработная плата исполнителя i -й категории, р.;

t_i — трудоемкость работ, выполняемых исполнителем i -й категории, ч.

Разработкой всего приложения занимается инженер-программист, Обязанности тестирования приложения лежат на инженере-тестировщике. Задачами инженера-программиста, являются разработка приложения, реализующего обработку данных лидара и алгоритма движения, и скрипта для роботизированной платформы. Инженер-тестировщик занимается выявлением неработоспособных частей приложения и скрипта для робота паука, а также оценивает пользовательский опыт, получаемый от использования приложения.

Месячная заработная плата основана на медианных показателях для Junior инженера-программиста за 2024 год по Республике Беларусь, которая составляет 925 Долларов США в месяц, а для Junior инженера-тестировщика – 700 Долларов США [6]. По состоянию на 15 апреля 2024 года, 1 Доллар США по курсу Национального Банка Республики Беларусь составляет 3,2640 белорусских рублей [7].

В перерасчёте на Белорусские рубли месячные оклады для инженера-программиста и инженера-тестировщика соответственно составляют 3 019,2 и 2 284,8 белорусских рублей соответственно.

Часовой оклад исполнителей высчитывается путём деления их

месячного оклада на количество рабочих часов в месяце, то есть 160 часов.

Коэффициент премии приравнивается к единице, так как она входит в сумму заработной платы. Затраты на основную заработную плату приведены в таблице:

Таблица 7.1 – Затраты на основную заработную плату

Категория исполнителя	Месячный оклад, р	Часовой оклад, р	Трудоёмкость работ, ч	Итого, р
Инженер-программист	3 019,2	18,87	208	3 924,96
Инженер-тестировщик	2 284,8	14,28	24	342,72
Итого				4 267,68
Премия и иные стимулирующие выплаты (0%)				0
Всего затраты на основную заработную плату разработчиков				4 267,68

7.2.2 Расчет затрат на дополнительную заработную плату разработчиков

Расчёт затрат на дополнительную заработную плату команды разработчиков рассчитывается по формуле:

$$З_д = \frac{З_о \cdot Н_д}{100}, \quad (7.2)$$

где $Н_д$ — норматив дополнительной заработной платы.

Значение норматива дополнительной заработной платы принимает за 10 %.

7.2.3 Расчет отчислений на социальные нужды

Размер отчислений на социальные нужды определяется согласно ставке отчислений, которая на апрель 2024 г. равняется 35%. Из этой общей ставки 29% отчисляется на пенсионное страхование, а 6% — на социальное страхование. Расчёт отчислений на социальные нужды вычисляется по формуле:

$$Р_{соц} = \frac{(З_о + З_д) \cdot Н_{соц}}{100}, \quad (7.3)$$

где $Н_{соц}$ — норматив отчислений в ФСЗН.

7.2.4 Расчет прочих расходов

Расчёт затрат на прочие расходы определяется при помощи норматива

прочих расчётов. Эта величина имеет значение 30%. Расчёт прочих расходов вычисляется по формуле:

$$P_{\text{пр}} = \frac{3_o \cdot H_{\text{пр}}}{100}, \quad (7.4)$$

где $H_{\text{пр}}$ – норматив прочих расходов.

7.2.5 Расчет расходов на реализацию

Для того, чтобы рассчитать расходы на реализацию, необходимо знать норматив расходов на неё. Принимаем значение норматива равным 3%. Формула, которая использована для расчёта расходов на реализацию:

$$P_p = \frac{3_o \cdot H_p}{100}, \quad (7.5)$$

где H_p – норматив расходов на реализацию.

7.2.6 Расчет общей суммы затрат на разработку и реализацию

Определяем общую сумму затрат на разработку и реализацию как сумму ранее вычисленных расходов: на основную заработную плату разработчиков, дополнительную заработную плату разработчиков, отчислений на социальные нужды, расходы на реализацию и прочие расходы. Значение определяется по формуле:

$$З_p = З_o + З_d + P_{\text{соц}} + P_{\text{пр}} + P_p \quad (7.6)$$

Таким образом, величина затрат на разработку программного средства высчитывается по указанной выше формуле и указана в таблице:

Таблица 7.2 – Затраты на разработку

Название статьи затрат	Формула/таблица для расчёта	Значение, р.
1	2	3
1. Основная заработная плата разработчиков	См. таблицу 7.1	4 267,68
2. Дополнительная заработная плата разработчиков	$З_d = \frac{4\,267,68 \cdot 10}{100}$	426,77
3. Отчисление на социальные нужды	$P_{\text{соц}} = \frac{(4\,267,68 + 426,77) \cdot 35}{100}$	1 643,06

Продолжение таблицы 0.3

1	2	3
4. Прочие расходы	$P_{\text{пр}} = \frac{4\,267,68 \cdot 30}{100}$	1 280,31
5. Расходы на реализацию	$P_p = \frac{4\,267,68 \cdot 3}{100}$	128,03
6. Общая сумма затрат на разработку и реализацию	$З_p = 4\,267,68 + 426,77 + 1\,643,06 + 1\,280,31 + 128,03$	7 745,85

7.3 Расчет экономического эффекта от реализации программного средства на рынке

Для расчёта экономического эффекта организации-разработчика программного средства, а именно чистой прибыли, необходимо знать такие параметры как объем продаж, цену реализации и затраты на разработку. В качестве количества проданных копий программного обеспечения за год будет взято 50. Стоимость одной копии составляет 400 рублей.

Для расчёта прироста чистой прибыли необходимо учесть налог на добавленную стоимость, который высчитывается по следующей формуле:

$$\text{НДС} = \frac{C_{\text{отп}} \cdot N \cdot N_{\text{д.с}}}{100\% + N_{\text{д.с}}}, \quad (7.7)$$

где N – количество копий(лицензий) программного продукта, реализуемое за год, шт.;

$C_{\text{отп}}$ – отпускная цена копии программного средства, р.;

N – количество приобретённых лицензий;

$N_{\text{д.с}}$ – ставка налога на добавленную стоимость, %.

Ставка налога на добавленную стоимость по состоянию на 15 апреля 2024 года, в соответствии с действующим законодательством Республики Беларусь, составляет 20%. Используя данное значение, посчитаем НДС:

$$\text{НДС} = \frac{400 \cdot 50 \cdot 20\%}{100\% + 20\%} = 3\,333,33 \text{ р.}$$

Посчитав налог на добавленную стоимость, можно рассчитать прирост чистой прибыли от продажи программного продукта. Для этого используется формула:

$$\Delta\Pi^p = (C_{\text{отп}} \cdot N - \text{НДС}) \cdot P_{\text{пр}} \cdot \left(1 - \frac{N_p}{100}\right), \quad (7.8)$$

где N – количество копий программного продукта, реализуемое за год, шт.;

$C_{\text{отп}}$ – отпускная цена копии программного средства, р.;

НДС – сумма налога на добавленную стоимость, р.;

$H_{\text{п}}$ – ставка налога на прибыль, %;

$R_{\text{пр}}$ – рентабельность продаж копий;

$R_{\text{пр}}$ – рентабельность продаж копий.

Ставка налога на прибыль, согласно действующему законодательству, по состоянию на 14.04.2024 равна 20%. Рентабельность продаж копий взята в размере 40%. Зная ставку налога и рентабельность продаж копий (лицензий), рассчитывается прирост чистой прибыли:

$$\Delta\Pi_{\text{ч}}^{\text{р}} = (400 \cdot 50 - 3\,333,33) \cdot 40\% \cdot \left(1 - \frac{20}{100}\right) = 5\,333,33$$

7.4 Расчет показателей экономической эффективности разработки для реализации программного средства на рынке

Оценим экономическую эффективность разработки и реализации программного средства на рынке, рассчитав простую норму прибыли по формуле:

$$P_{\text{и}} = \frac{\Delta\Pi_{\text{ч}}^{\text{р}}}{Z_{\text{р}}} \cdot 100\%, \quad (7.9)$$

где $\Delta\Pi_{\text{ч}}^{\text{р}}$ – прирост чистой прибыли, полученной от реализации программного средства на рынке, р.;

$Z_{\text{р}}$ – затраты на разработку программного средства, р.

Исходя из того, что прирост чистой прибыли равен 5 333,33 рублей и затраты на разработку равны 7 745,85 рублей, получим:

$$P_{\text{и}} = \frac{5\,333,33}{7\,745,85} \cdot 100\% = 68,9\%$$

Поскольку рентабельность инвестиций меньше 100%, затраты на разработку и реализацию программного средства на рынке окупятся не ранее, чем через год. В этом случае оценку экономической эффективности необходимо проводить на основе расчета и оценки показателей эффективности для расчетного периода продолжительностью 3 года.

Приведение доходов и затрат к настоящему моменту времени осуществляется путем их умножения на коэффициент дисконтирования, который определяется по следующей формуле:

$$\alpha = \frac{1}{(1 + E_{\text{и}})^{t-t_{\text{р}}}}, \quad (7.10)$$

где t – порядковый номер года, доходы и затраты которого приводятся к расчетному периоду;

E_n – требуемая норма дисконта, которая по своей природе соответствует норме прибыли, устанавливаемой инвестором в качестве критерия рентабельности инвестиций, доли единицы;

t_p – расчетный год, к которому приводятся доходы и инвестиционные затраты ($t_p = 1$).

Требуемая норма дисконта может быть:

1. Не ниже ставки рефинансирования Национального банка Республики Беларусь на момент проведения расчетов.

2. На уровне или выше ставки по долгосрочным банковским депозитам, если проект финансируется за счет собственных средств.

3. На уровне банковской процентной ставки по кредитам, если проект финансируется за счет заемных средств.

Поскольку проект финансируется за счет собственных средств, установим норму дисконта равной 9,5% годовых.

Результаты расчета коэффициентов дисконтирования по годам расчетного периода по формуле 7.10 представлены в таблице 7.3.

Расчет чистого дисконтирования дохода за расчетный период вычисляется по формуле:

$$\text{ЧДД}(NVP) = \sum_{t=1}^n P_t \cdot \alpha_t - \sum_{t=1}^n Z_t \cdot \alpha_t, \quad (7.11)$$

где α_t – коэффициент дисконтирования, рассчитанный для года t .

Результаты расчета чистого дисконтирования дохода нарастающим итогом представлены в таблице 7.3.

Расчет дисконтированного срока окупаемости инвестиций (DPP) осуществляется по формуле:

$$\sum_{t=1}^{DPP} P_t \cdot \frac{1}{(1 + E_n)^{t-t_p}} > \sum_{t=1}^{DPP} Z_t \cdot \frac{1}{(1 + E_n)^{t-t_p}}. \quad (7.12)$$

Решая неравенство, получаем, что дисконтированный срок окупаемости равен 2 годам.

Расчет рентабельности инвестиций без учета фактора времени определяется по формуле:

$$P_{\text{и}} = \frac{\Pi_{\text{ср}}}{\sum_{t=1}^n Z_t} \cdot 100\%, \quad (7.13)$$

где $\Pi_{\text{ср}}$ – среднегодовая чистая прибыль, р.

Таблица 7.3 – Расчет эффективности инвестиций

Показатель	Значение по годам расчетного периода		
	1	2	3
Результат			
1. Прирост чистой прибыли от реализации, р.	5 333,33	5 333,33	5 333,33
2. Дисконтированный результат, р.		2 456,81	6 904,81
Затраты			
3. Инвестиции в разработку программного средства, р.	7 745,85	0	0
4. Дисконтированные инвестиции, р.	7 745,85	7 745,85	7 745,85
5. Чистый дисконтированный доход нарастающим итогом, р.	-2 412,52	4 869,33	4 447,99
6. Чистый дисконтированный доход нарастающим итогом, р.	-2 412,52	2 456,81	6 904,81
Коэффициент дисконтирования, доли единицы	1	0,913	0,834

Расчет рентабельности инвестиций:

$$P_{\text{и}} = \frac{5\,333,33}{7\,745,85 + 0 + 0} \cdot 100\% = 68,9\%.$$

Расчет срока окупаемости без учета фактора времени производится по формуле:

$$T_{\text{ок}} = \frac{\sum_{t=1}^n Z_t}{P_{\text{ср}}}, \quad (7.14)$$

где n – расчетный период, количество лет;

Z_t – затраты в году t , р.;

$P_{\text{ср}}$ – среднегодовая сумма экономического эффекта, р.

Расчет срока окупаемости:

$$T_{\text{ок}} = \frac{7\,745,85 + 0 + 0}{5\,333,33} = 1,45 \text{ года.}$$

7.5 Вывод об экономической эффективности

Проведённые расчёты технико-экономического обоснования позволяют сделать предварительный вывод о целесообразности разработки данного программного продукта. Общая сумма затрат на разработку и реализацию

составила 7 745,85 Белорусских рублей, а отпускная цена была установлена на уровне 400 Белорусских рублей.

Чистая прибыль в год от реализации на программного средства на рынке равна 5 333,33 рублей, а срок окупаемости составляет 1,45 года. Из этого можно сделать вывод, что проект имеет потенциал для возврата инвестиций в короткий период времени. Однако при фактическом выходе на рынок надо учитывать множество внешних факторов. Вот некоторые из них:

1. Конкуренция. Уровень конкуренции на рынке может существенно влиять на экономическую эффективность проекта. Если рынок насыщен, может быть сложно проникнуть на него и достичь высокой прибыли. Также важно отслеживать, не отстает ли программное обеспечение от конкурентов в технологическом плане. В наше время технологии развиваются очень быстро, и данная проблема является актуальной, как никогда прежде. Необходимо провести анализ конкурентной среды и определить уникальные преимущества разработанного программного средства.

2. Размер целевой аудитории. Важно оценить размер и потенциал целевой аудитории. Чем больше спрос, тем выше вероятность достижения экономической эффективности. Фактический спрос может отличаться от используемого при расчетах.

3. Маркетинговая стратегия. Правильная маркетинговая стратегия играет важную роль в достижении экономической эффективности. Необходимо разработать эффективный план маркетинга, включающий определение целевой аудитории, выбор каналов продвижения, позиционирование продукта и установление конкурентоспособной цены. Есть вероятность, что при выбранной цене, разработанное программное средство не выдержит конкуренции и ее придется снижать.

4. Обратная связь от клиентов. Важно активно собирать информацию от клиентов, чтобы понимать их потребности, выявлять проблемы и внедрять улучшения. Регулярное взаимодействие с пользователями поможет выстроить долгосрочные отношения, повысить удовлетворенность клиентов и улучшить продукт. Разработанное программное средство служит для выполнения прикладных задач, таким образом при тестировании сложно смоделировать все условия, в которых может работать роботизированная платформа. Например, если реализованный алгоритм движения не будет эффективен в условиях эксплуатации робота-паука, придется внедрять изменения в программное обеспечение. Для решения подобных проблем нужна обратная связь с клиентами.

Все эти факторы необходимо тщательно исследовать и анализировать для окончательного решения о выходе на рынок. Комбинированный подход, учитывающий конкурентные преимущества, спрос, затраты и маркетинг, поможет более успешно продвинуть проект на рынок.

ЗАКЛЮЧЕНИЕ

Текст раздела

СПИСОК ИСПОЛЬЗУЕМЫХ ИСТОЧНИКОВ

[1] Gmapping [Электронный ресурс] – Режим доступа: <http://wiki.ros.org/gmapping/>. – Дата доступа: 09.04.2023.

[2] Google Cartographer ROS [Электронный ресурс] – Режим доступа: <https://google-cartographer-ros.readthedocs.io/en/latest/>. – Дата доступа: 09.04.2023.

[3] RTAB-Map, Real-Time Appearance-Based Mapping [Электронный ресурс] – Режим доступа: <https://introlab.github.io/rtabmap/>. – Дата доступа: 09.04.2023.

[4] Autonomous Navigation with Simultaneous Localization and Mapping in/outdoor / E. Pedrosa [и др.]. – Aveiro, 2020.

[5] The Cargo Book [Электронный ресурс] – Режим доступа: <https://doc.rust-lang.org/cargo/>. – Дата доступа: 10.04.2023.

[6] Интернет-издание «Dev.by» [Электронный ресурс]. – Зарплата в ИТ – Режим доступа: <https://salaries.devby.io> – Дата доступа: 15.04.2024.

[7] Национальный банк Республики Беларусь [Электронный ресурс]. – Официальные курсы белорусского рубля по отношению к иностранным валютам, устанавливаемые Национальным банком Республики Беларусь ежедневно, на 15.04.2023 – Режим доступа: <https://www.nbrb.by/statistics/rates/ratesdaily.asp> – Дата доступа: 15.04.2024.

ПРИЛОЖЕНИЕ А
(обязательное)
Название приложения

ПРИЛОЖЕНИЕ Б
(обязательное)
Название приложения

ПРИЛОЖЕНИЕ В
(обязательное)
Спецификация

ПРИЛОЖЕНИЕ Г
(обязательное)
Ведомость документов